

Efficacy of Anethole on Biofilm Formation, Ergosterol Content, and Cell Surface Hydrophobicity of *Candida Glabrata* Isolated from Urinary System

Hamid Haji Gholamreza¹ , Aghil Sharifzadeh¹ , Hojjatollah Shokri^{2*} , Jalal Hasan³ 

¹Dept of Microbiology and Immunology, Faculty of Veterinary Medicine, University of Tehran, Tehran, Iran

²Dept of Pathobiology, Faculty of Veterinary Medicine, Amol University of Special Modern Technologies, Amol, Iran

³Dept of Comparative Bioscience, Faculty of Veterinary Medicine, University of Tehran, Tehran, Iran

Article Info

ABSTRACT

Article type:

Research article

Article History:

Received: May. 07, 2023

Received in revised form:

Jun. 01, 2023

Accepted: Nov. 25, 2023

Published Online: Feb. 03, 2025

*** Correspondence to:**

Hojjatollah Shokri

Dept of Pathobiology, Faculty of Veterinary Medicine, Amol University of Special Modern Technologies, Amol, Iran

Email:

hshokri@ausmt.ac.ir

Introduction: Resistance to synthetic antifungal agents is a considerable health problem nowadays. Therefore, it is necessary to identify new antifungal molecules, such as natural products, to develop new therapeutic strategies to prevent and eradicate candidiasis. The aims of this work were to study the effect of anethole on growth, cell surface hydrophobicity, ergosterol content, and biofilm formation of *Candida glabrata* (*C. glabrata*) isolated from the urinary system.

Materials & Methods: The disc diffusion method (susceptibility to synthetic antifungals), the broth micro-dilution method (susceptibility to anethole), the MTT reduction assay (biofilm formation), the HPLC technique (ergosterol content), and adherence to n-hexadecane (cell surface hydrophobicity; CSH) were employed to determine the effect of anethole against *C. glabrata* isolates. Statistical analysis of the data was performed using GraphPad Prism V.9, employing the one-way ANOVA test and pairwise comparisons using the Tukey test/post-hoc ANOVA at a significance level of 0.05.

Results: The range of MIC of *C. glabrata* was 1250-5000 µg/ml for anethole (3375 ± 1375 µg/ml). The percentages of CSH were significantly in groups treated with MIC/2 ($24.73 \pm 6.37\%$) and MIC/4 ($29.01 \pm 6.61\%$) concentrations of anethole. Also, the percentage changes in membrane ergosterol were 23.35% at 0.125 µg/ml, 46.46% at 0.25 µg/ml, and 73.92% at 0.5 µg/ml of anethole, compared to the control that wasn't treated.

Conclusion: The results showed the effectiveness of anethole against planktonic and sessile cells of *C. glabrata* isolates and the interference with ergosterol content, CSH, and biofilm formation, reinforcing the potential of this natural compound as a natural antifungal.

Keywords: *Candida glabrata*, Anethole, Biofilm, Ergosterol, Hydrophobicity

How to cite this paper: Haji Gholamreza H, Sharifzadeh A, Shokri H, Hasan J. Efficacy of Anethole on Biofilm Formation, Ergosterol Content, and Cell Surface Hydrophobicity of *Candida Glabrata* Isolated from Urinary System. *Journal of Ilam University of Medical Sciences*. 2025;32(6):27-45.

Introduction

Candida is a yeast organism that naturally exists in the surface epithelium of the gastrointestinal and genitourinary tracts of healthy individuals as part of the normal flora (1). However, if there is a disturbance in local or systemic immune function, *Candida* may overgrow, ultimately leading to candidiasis (2). Hospitalized patients commonly experience candiduria, a form of candidiasis. The presence of yeast (*Candida* species) in the urine may indicate that the patient is suffering from pyelonephritis or cystitis (3). It could also

signify involvement of the renal cortex due to disseminated candidiasis (3). However, candiduria might simply reflect colonization of yeast in the bladder, perineum, or an indwelling urinary catheter (3). The development of new pharmaceuticals derived from natural compounds to combat infections resistant to common antifungals, which exhibit fewer side effects, has garnered significant attention in recent times (4). Anethole (1-methoxy-4-isopropenylbenzene) is a phenylpropanoid that comes from plants (4). It is a main part of essential oils from plants like anise, fennel, and star anise (5). Previous studies have



demonstrated the antifungal properties of anethole (13). The point of this study was to look into how anethole affects the growth, surface hydrophobicity, ergosterol content of the membrane, and biofilm formation by isolates of *Candida glabrata*.

Methods

The study used a number of methods to look at how anethole affected *C. glabrata* isolates. These included the disc diffusion method to test resistance to synthetic antifungals, the broth micro-dilution method to test resistance to anethole, the MTT reduction assay to check biofilm formation, the HPLC method to check ergosterol levels, and adherence to n-hexadecane to check the hydrophobicity of the cell surface (CSH). Data analysis was conducted using GraphPad Prism V.9, applying the one-way ANOVA test along with pairwise comparisons through the Tukey test/post-hoc ANOVA, with a significance threshold set at 0.05.

Results

The minimum inhibitory concentration (MIC) of *C. glabrata* for anethole ranged from 1250 to 5000 µg/ml, with an average of 3375 ± 1375 µg/ml. The amount of CSH was much higher in the groups that were given anethole at half the MIC concentration ($24.73 \pm 6.37\%$) and a quarter of the MIC concentration ($29.01 \pm 6.61\%$). Additionally, the alterations in membrane ergosterol levels were recorded at 23.35%, 46.46%, and 73.92% for anethole concentrations of 0.125, 0.25, and 0.5 µg/ml, respectively, when compared to the untreated control group.

Conclusion

It can be inferred that anethole demonstrates antifungal properties against *C. glabrata* strains and also has the capacity to diminish the surface hydrophobicity of *Candida* cells.

Authors' Contribution

Conceptualization, Methodology: Validation, Formal Analysis, Software, Investigation, Resources, Data Curation, Writing—Original Draft Preparation, Writing—Review & Editing, Visualization, Supervision, Project Administration: HH, AS, HS, JH.

Ethical Statement

The study was approved by the Ethics Committee of the University of Tehran (300511/6/4). The authors avoided data fabrication, falsification, plagiarism, and misconduct.

Conflicts of Interest

The authors declare no conflict of interest.

Funding

This research has been financially supported by the Research Vice Presidency at the University of Tehran.

Acknowledgment

The authors of the article express their utmost gratitude to the esteemed experts of the Mycology Laboratory at the Faculty of Veterinary Medicine, University of Tehran, for their efforts in conducting the sampling.

تأثیر آنتول روی تشکیل بیوفیلم، میزان ارگوستروول و آبگریزی سطح سلولی کاندیدا گلابراتای جداشده از دستگاه ادراری

حمید حاجی غلامرضا^۱، عقیل شریفزاده^۱، حجت الله شکری^{۲*}، جلال حسن^۲

^۱ گروه میکروبیولوژی و ایمونولوژی، دانشکده دامپزشکی، دانشگاه تهران، تهران، ایران

^۲ گروه پاتوبیولوژی، دانشکده دامپزشکی، دانشگاه تخصصی فناوری های نوین آمل، آمل، ایران

^۳ گروه علوم زیستی مقایسه ای، دانشکده دامپزشکی، دانشگاه تهران، تهران، ایران

اطلاعات مقاله

نوع مقاله: پژوهشی	تأثیر آنتول روی تشکیل بیوفیلم، میزان ارگوستروول و آبگریزی سطح سلولی کاندیدا گلابراتای جداشده از دستگاه ادراری
تاریخ دریافت:	۱۴۰۲/۰۲/۱۷
تاریخ ویرایش:	۱۴۰۲/۰۳/۱۱
تاریخ پذیرش:	۱۴۰۲/۰۹/۰۴
تاریخ انتشار:	۱۴۰۳/۱۱/۱۵

نویسنده مسئول:

حجت الله شکری

گروه پاتوبیولوژی، دانشکده دامپزشکی، دانشگاه تخصصی فناوری های نوین آمل، آمل، ایران

مقدمه: در حال حاضر، مقاومت به داروهای ضدقارچی شیمیایی مشکل بهداشتی بزرگی است؛ بنابراین، شناسایی مولکول های جدید ضدقارچی مانند فرآورده های طبیعی برای ایجاد راهبردهای جدید درمانی به منظور پیشگیری و حذف کاندیدایازیس ضروری است. اهداف این کار شامل مطالعه تأثیر آنتول روی رشد، آبگریزی سطح سلولی، میزان ارگوستروول و تشکیل بیوفیلم کاندیدا گلابراتای جداشده از دستگاه ادراری است.

مواد و روش ها: روش انتشار دیسک (حساسیت به داروهای ضدقارچی شیمیایی)، روش میکرودایلوشن براث (حساسیت به آنتول)، سنجش کاهش MTT (تشکیل بیوفیلم)، تکیک HPLC (میزان ارگوستروول) و اتصال به n-هیگراد کان (آبگریزی سطح سلولی) برای تعیین تأثیر آنتول بر ابر جدایه های کاندیدا گلابراتا به کار گرفته شدند. تجزیه و تحلیل آماری داده ها با نرم افزار Tukey Test / Post-hoc GraphPad Prism vol.9.0.0.121 و آزمون One-Way ANOVA و آزمون های دوتایی ANOVA در سطح معنادار ۰/۰۵ انجام گرفت.

یافته های پژوهش: دامنه حداقل مهار کنندگی کاندیدا گلابراتا حدود ۱۲۵۰-۱۲۵-۳۱۲/۵ میکرو گرم در میلی لیتر برای آنتول بود (843 ± 75 میکرو گرم در میلی لیتر). درصد های آبگریزی سطح سلولی به طور معناداری در گروه های تیمار شده با غلظت های ۲/ MIC (246 ± 73 درصد) و ۴/ MIC (401 ± 61 درصد) آنتول بودند؛ همچنین تغییرات درصدی در میزان ارگوستروول غشایی حدود ۰/۲۵، ۰/۰۵ و ۰/۰۲۵ میکرو گرم در میلی لیتر آنتول در مقایسه با گروه شاهد غیر تیمار بود.

بحث و نتیجه گیری: این نتایج اثربخشی آنتول برابر سلول های پلاتکتو نیک و بیوفیلمی جدایه های کاندیدا گلابراتا و تداخل با میزان ارگوستروول، آبگریزی سطح سلولی و تشکیل بیوفیلم را نشان دادند که بیان کننده توانایی بالقوه این ترکیب به عنوان یک ضدقارچ طبیعی است.

واآدهای کلیدی: کاندیدا گلابراتا، آنتول، بیوفیلم، ارگوستروول، آبگریزی سطح سلولی

استناد: حاجی غلامرضا حمید، شریف زاده عقیل، شکری حجت الله، حسن جلال. تأثیر آنتول روی تشکیل بیوفیلم، میزان ارگوستروول و آبگریزی سطح سلولی کاندیدا گلابراتای جداشده از دستگاه ادراری. مجله دانشگاه علوم پزشکی ایلام، بهمن ۱۴۰۳: ۳۲۲-۴۵.

Email:
hshokri@ausmt.ac.ir



مقدمه

عفونتهای قارچی به عنوان یک مشکل بهداشتی جدی در نظر گرفته می‌شوند، بهویژه در افرادی که دارای نقص در دستگاه اینمی بدن هستند. در دو دهه گذشته، عفونتهای قارچی بهویژه کاندیدیازیس افزایش فراوانی داشته است. این فراوانی بالا به عواملی از جمله افزایش تعداد بیماران مبتلا به ایدز، دیابت و سرطان مرتبط است (۱).

کاندیدا ارگانیسم مخمری است که در اپیتیلیوم سطحی دستگاه گوارش و دستگاه ادراری - تناولی انسانهای سالم به عنوان فلور طبیعی وجود دارد. در صورت اختلال در دستگاه اینمی موضعی یا سیستمیک، ممکن است کاندیدا رشد بیش از حد داشته باشد که درنهایت، به کاندیدیازیس منجر شود. بیش از ۱۵ گونه کاندیدایی بیماری‌زا شناخته شده است که شایعترین آن‌ها شامل کاندیدا آلبیکس، کاندیدا گلابراتا و کاندیدا تروپیکالیس هستند (۲).

کاندیدوریا شکلی از کاندیدیازیس است که اغلب در بیماران بستری مشاهده می‌گردد. یافتن مخمر (گونه‌های کاندیدا) در ادرار می‌تواند به معنای ابتلای بیمار به پیلونفربیت یا سیستیت باشد؛ همچنین می‌تواند به معنی درگیری قشر کلیه به علت کاندیدیازیس منتشر باشد. البته وجود کاندیدوریا ممکن است تنها نشان‌دهنده کلوبنیزاسیون مخمر در مثانه، پرینه یا کاتتر ثابت ادراری باشد. بیشتر قریب به اتفاق بیماران مبتلا به کاندیدوریا هیچ علامتی را نشان نمیدهند که می‌تواند نشان‌دهنده وجود عفونت دستگاه ادراری باشد (۳). به‌طور کلی، میزان بروز کاندیدوریا با توجه به سن بیمار و شرایط بیمارستان متفاوت است، به‌طوری که در واحدهای مراقبت ویژه و سوختگی و در میان افراد مسن رایجتر است. از عوامل اثرگذار در ابتلای کاندیدوریا در بزرگ‌سالان می‌توان جنسیت زن، استفاده از دستگاههای ادراری ثابت، ناهنجاریهای مادرزادی دستگاه ادراری، جراحی محوطه شکمی، درمان با آنتیبیوتیکهای وسیع‌الطیف و دیابت رانم برد (۴).

چسبندگی مخمر به سلول‌ها و بافت‌های میزان اولین رویداد برای شروع عفونت است. علاوه بر این، تماس سطحی

قارچ می‌تواند رفتارهای مختلف سلولی از جمله تشکیل بیوفیلم را تحریک کند که به‌طور قوی با کاندیدیازیس مرتبط است (۵). یک بیوفیلم اغلب از سلول‌های چسبنده و ماتریکس خارج سلولی تشکیل شده است و تشکیل آن با پیوستن سلول‌های پلاتکتونی متحرک به سطوح اندوتلیوم انسان یا ایمپلنتهای پزشکی آغاز می‌شود (۶). تشکیل بیوفیلم یک عامل حدت قارچ محسوب می‌گردد؛ زیرا ممکن است به مقاومت ضدقارچی و محافظت از سلول‌های قارچی در برابر پاسخهای اینمی منجر شود. تشکیل بیوفیلم توسط گونه‌های کاندیدا می‌تواند مسئول کلوبنیزاسیون بهتر میکرووارگانیسم در بدن و وسائل پزشکی باشد که ممکن است به مشکلاتی در ریشه‌کنی این میکرووارگانیسمها از خون منجر گردد (۷). فرایند چسبندگی کاندیدا نسبتاً پیچیده و وابسته به هردو عامل بیولوژیکی و غیربیولوژیکی است. آب‌گریزی (هیدروفیزیتی) که مربوط به دیواره سلولی است، یک عامل غیر بیولوژیک حیاتی در چسبندگی کاندیدا در نظر گرفته می‌شود (۸). الپولا و سامارانایاک (۸) نشان دادند که مخمرهای آب‌گریز، نسبت به آب‌دوست‌ها، حدت پیشتری دارند. کلوترز و همکاران (۹) رابطه‌ای میان افزایش چسبندگی به سطوح پلاستیکی و آب‌گریزی گزارش کردند. پژوهشگران همبستگی آماری مثبت معناداری میان آب‌گریزی و چسبندگی به سلول‌های اپیتیلیال میزان و سطح آکریلیک پروتز گزارش کردند (۱۰).

امروزه با توجه به شیوع پیشتر عفونت‌های کاندیدایی غیر آلبیکتسی و بروز مقاومت‌های اکتسابی در گونه‌هایی مانند کاندیدا گلابراتا، پژوهشگران به دنبال یافتن راهکارهای درمانی جدید برای غلبه بر عفونت‌ها و مقاومت‌های ناشی از آن‌ها هستند. به این منظور، یکی از روش‌های درمانی مورد توجه پژوهشگران استفاده از ترکیبات گیاهی با خواص ضدمیکروبی مانند ترکیبات فلی و ترپن‌وئیدها است (۱۱). برخی پژوهشگران توانایی ضد بیوفیلم کاندیدایی توسط ترکیبات گیاهی مانند فلاونوئیدها و عطرماهیه‌ها (۱۲) را نشان داده‌اند. تولید داروهای جدید از ترکیبات طبیعی برای کنترل عفونتهای مقاوم در برابر ضدقارچهای رایج که عوارض جانبی

میکرودایلوشن انجام گرفته است.

الف. انتشار دیسک: آزمایش حساسیت ضدقارچی جدایه‌های کاندیدا گلابراتا در برابر دیسک‌های فلوکونازول، وریکونازول، ایتراکونازول، کتوکونازول و پوساکونازول (شرکت روسکو، دانمارک) به روش انتشار دیسک و بر اساس دستورالعمل استاندارد A2-A44- CLSI-M44 انجام شد (۱۴). بدین منظور، ابتدا جدایه‌های کاندیدا گلابراتا روی محیط سابورو دکستروز آگار در دمای ۳۷ درجه سانتی گراد به مدت ۲۴ ساعت کشت گردید؛ سپس مخمرها به ۵ میلیلیتر سرم فیزیولوژیک استریل انتقال و به طور کامل ورتكس شد تا سوسپانسیونی یکنواخت به دست آمد. جذب نوری (OD) سوسپانسیون بالا در طول موج ۶۲۵ نانومتر به ۰/۰۸ تا ۰/۱ رسانده شد تا کدورت برابر با استاندارد ۰/۵ مک‌فارلنند (cfu/ml) به دست آید. در ادامه، یک سواب پنهانی استریل در سوسپانسیون مخمری غوطه‌ور گردید و روی سطح پلیت با قطر ۹۰ میلیمتر حاوی مولر هیتون آگار حاوی ۲ درصد گلوکز و ۰/۵ میکرو گرم در میلیلیتر متیلن بلو (به منظور مشخص شدن بهتر هالة ممانعت از رشد)، به صورت خطی در همه جهات کشت داده و بدون حرکت در دمای اتاق به مدت ۵ تا ۱۰ دقیقه قرار داده شد تا سوسپانسیون به طور کامل جذب محیط کشت گردد.

به منظور تعیین الگوهای حساسیت جدایه‌های کاندیدا گلابراتای مطالعه شده، دیسک‌های استاندارد داروهای ذکر شده روی محیط مولر هیتون قرار داده شدند و هالة مهار رشد اطراف دیسکها به دنبال انکوباسیون پلیتها به مدت ۱۸-۲۴ ساعت در دمای ۳۷ درجه سانتی گراد اندازه گیری گردیدند. حساسیت جدایه‌های کاندیدا گلابراتای مطالعه شده بر اساس معیارهای تفسیری هالة ممانعت از رشد ارزیابی شدند.

ب. براث میکرودایلوشن: تعیین حداقل غلاظت مهار کننده رشد (MIC) و حداقل غلاظت کشنده (MFC) برای جدایه‌های کاندیدا گلابراتا در برابر آنتول به روش رقت‌سازی در حجم کم (براث میکرودایلوشن)، مطابق با دستورالعمل استاندارد A3- CLSI- M27-A3 انجام گردید (۱۵). بدین منظور، سوسپانسیون همگنی از مخمر (یک میلیون سلول در میلی لیتر)

کمتری دارند، در حال حاضر بسیار مورد توجه قرار گرفته است. آنتول (۱-متوكسی-۴-ایزوپروپنیل-بنزن) یک فنیل پروپانوئید گیاهی است که یکی از اجزای اصلی عطر مایه‌های گیاهی مانند آنسیون، رازیانه و بادیان رومی را تشکیل می‌دهد. آثار ضدقارچی آنتول در مطالعات پیشین ثابت شده است (۱۳). هدف این مطالعه بررسی اثر آنتول بر رشد، آب‌گریزی سطح سلولی، میزان ارگوسترون غشایی و تشکیل بیوفیلم توسط جدایه‌های کاندیدا گلابراتا است.

مواد و روش‌ها

سویه‌های مخمری: در این مطالعه (با کد اخلاق ۴۱۱/۶/۳۰۰۵)، از ۱۰ جدایه کاندیدا گلابراتای ذخیره شده در بانک قارچ‌شناسی دانشکده دامپزشکی دانشگاه تهران (۹) جدایه ادراری و ۱ جدایه استاندارد ۹۰۰۳۰ (ATCC) استفاده RapID گردید. همه جدایه‌های مطالعه شده با استفاده از کیت TMYeast Plus System (رمل، آمریکا) تشخیص داده شد و توالی ژنتیکی آن‌ها تعیین و کد ژنتیکی برای آن‌ها در سامانه NCBI تعیین گردید. این جدایه‌ها در دمای -۸۰ درجه سانتی گراد در محیط عصاره مخمر حاوی پیتون و دکستروز (YPD) (سیگما، آمریکا)، حاوی ۲۰ درصد گلیسرول نگهداری شدند. برای استخراج سلول و آماده‌سازی برای کشت، ابتدا ۱۰۰ میکرولیتر از هر جدایه به ۵ میلیلیتر محیط مایع YPD اضافه گردید. برای فعالسازی مجدد و تأیید زندگانی، سلول‌های کاندیدا گلابراتا در یک شیکر در دمای ۳۵ درجه سانتی گراد، ۲۰۰ دور در دقیقه، به مدت ۴۸ ساعت انکوبه شدند. پس از آن، ۱۰۰ میکرولیتر سوسپانسیون سلول در سطح محیط کشت سابورو دکستروز آگار (مرک، آلمان) تلقیح گردید.

ترکیبات دارویی: دیسک‌های فلوکونازول، ایتراکونازول، وریکونازول، کتوکونازول و پوساکونازول (روسکو، دانمارک) برای این مطالعه انتخاب شدند. آنتول (سیگما، آمریکا) به عنوان ترکیب طبیعی در اتانول ۷۰ درجه حل گردید.

آزمایش‌های حساسیت ضدقارچی: آزمایش‌های حساسیت ضدقارچی به دو روش انتشار دیسک و براث

سلول‌های کاندیدا گلابراتا روی محیط سایبورو دکستروز آگار (SDA) به صورت خطی کشت داده شدند و در دمای ۳۷ درجه سانتی‌گراد به مدت ۱۸ ساعت در انکوباتور قرار گرفتند؛ سپس یک کلنی کامل از مخمر رشد یافته به داخل محیط کشت یست نیتروژن بیس (YNB) (حاوی ۵۰ تا ۱۰۰ میلی‌مول گلوکز و pH=7) انتقال داده شد و به مدت ۱۸ ساعت در روتاری شیکر با دور ۷۵ rpm در دمای ۳۵ درجه سانتی‌گراد قرار گرفت تا همه مخمرها در فاز رشد نمایی قرار گیرند. در ادامه، محیط بالا در دمای ۴ درجه سانتی‌گراد به مدت ۵ دقیقه و در دور ۳۰۰۰ g سانتریفیوژ گردید؛ سپس محیط رویی رسوب مخمری خالی و ۲ مرتبه با فسفات بافر استریل شستشو داده شد. هربار روی رسوب حدود ۲۰ میلی‌لیتر فسفات بافر با دمای ۴ درجه سانتی‌گراد ریخته و خوب ورتكس گردید. این مرحله ۲ مرتبه تکرار شد تا سلول‌های مخمری به خوبی شستشو داده شوند؛ سپس روی رسوب محیط YNB که به دمای ۳۷ درجه سانتی‌گراد رسیده بود، ریخته شد و غلظت نهایی با استفاده از لام هماستومتر معادل $2/5 \times 10^6$ سلول در هر میلی‌لیتر تنظیم گردید. گودههای مدنظر از پلیت‌های ۹۶ خانه‌ای کشت سلول بهمنظر آماده‌سازی برای تشکیل بیوفیلم، به مدت حداقل ۳۰ دقیقه در دمای اتاق، با ۱۰۰ میکرولیتر فسفات بافر (۵۰ درصد در فسفات بافر) پوشانده شد و پس از آن گوده‌ها یک مرتبه با ۲۰۰ میکرولیتر فسفات بافر استریل شستشو گردید.

ارزیابی تشکیل بیوفیلم و اثر آنتول بر آن به روش MTT Reduction assay انجام شد (۱۶). در این روش، نمک قابل حل و زردرنگ تترازولیوم به‌وسیله سلول‌هایی که از نظر متابولیکی فعال هستند، بر اساس میزان فعالیت آنزیم‌های دهیدروژناز میتوکندریایی این سلول‌ها مانند NADH و NADPH احیا می‌گردند و به کریستالهای بنفس فورمازان تبدیل می‌شوند که نامحلول در آب هستند. در مرحله بعد، این کریستالها توسط ترکیات خاصی به صورت محلول در می‌آید و رنگ ایجاد شده توسط دستگاه اسپکتروفوتوомتر خوانده می‌شود. مقدار کریستالهای فورمازان و درنتیجه، مقدار رنگ خوانده شده توسط دستگاه به عنوان مقیاسی از تعداد

با جذب نوری ۰/۰۸ تا ۰/۰۲۵ نانومتر به عنوان محلول استوک تهیه شد. بر اساس دستورالعمل CLSI، برای رسیدن به سوسپانسیونی با غلظت ۲۵۰۰ سلول مخمر در میلی‌لیتر به منظور تلقیح به گودهها، از محلول استوک به دست آمده در محیط RPMI 1640 حاوی بافر MOPS، ابتدا رقت ۱۰۰/۱ و سپس از این محلول رقت ۲۰/۱ تهیه گردید. برای تهیه رقت سریالی آنتول، ابتدا بیشترین رقت آنتول (۲۰۰۰۰ پی‌پی‌ام) با استفاده از حلال آتانول (حجم نهایی آتانول در محلول ۱۰ درصد بود) در محیط RPMI 1640 تهیه و در آدامه، رقت‌های متوالی دو برابر آنتول در گودههای پلیت ۹۶ خانه تهیه شد؛ سپس ۲۰۰ میکرولیتر از رقت ۲۰۰۰۰ پی‌پی‌ام به گودههای ستون اول پلیت ۹۶ خانه منتقل و در ادامه، ۱۰۰ میکرولیتر از آن به گودههای ستون دوم منتقل گردید که حاوی ۱۰۰ میکرولیتر محیط RPMI 1640 بود و به خوبی مخلوط شد. این عمل رقیق کردن به شکل متوالی تا ستون ۱۰ پلیت ۹۶ خانه ادامه یافت و سپس از ستون ۱۰ مقدار ۱۰۰ میکرولیتر برداشته و بیرون ریخته شد، بدین ترتیب رقت‌های متوالی دو برابر بین ۳۹/۰۵ و ۲۰۰۰۰ میکروگرم در میلی‌لیتر آنتول تهیه گردید. گفتنی است، ستون ۱۱ به عنوان کنترل مثبت و عاری از ماده مؤثر گیاهی و ستون ۱۲ به عنوان کنترل منفی و عاری از مخمر در نظر گرفته شدند؛ سپس به هر گوده ۱۰۰ میکرولیتر سوسپانسیون مخمری با غلظت ۲۵۰۰ سلول مخمر در میلی‌لیتر اضافه گردید، به طوری که در پایان، هر گوده پلیت ۹۶ خانه حاوی ۱۰۰ میکرولیتر آنتول و ۱۰۰ میکرولیتر سوسپانسیون مخمری بود. پلیتها به مدت ۴۸-۲۴ ساعت در دمای ۳۷ درجه سانتی‌گراد انکوبه شدند و پس از آن، MIC آنتول به صورت چشمی (گوده بدون کدورت با توجه به کنترل) و MFC آنتول از طریق کشت گودههای MIC و دو رقت بالاتر از آن در محیط سایبورو دکستروز آگار و انکوباسیون در دمای ۳۷ درجه به مدت ۴۸ ساعت تعیین گردید.

ارزیابی توانایی تشکیل بیوفیلم توسط جدایه‌های کاندیدا گلابراتا: برای آماده‌سازی سوسپانسیون استاندارد مخمری در مرحله فاز نمایی رشد به منظور تشکیل بیوفیلم، ابتدا

از یکبار شستشو با فسفات بافر، مجدداً سانتریفیوژ انجام گردید و نمونه‌ها رسوب داده شدند و وزن رسوب ارگانیسم برای هر نمونه محاسبه گردید. در ادامه، به فالکونها ۱۰ میلی‌لیتر هیدروواکسید پتاسیم ۵٪ مولار اضافه شد. درب لوله‌ها محکم بسته شد و به مدت ۴۵ دقیقه در یک حمام آب ۷۵ درجه سانتی گراد غوطه‌ور گردیدند. پس از آن، لوله‌ها با آب خنک شدند و سپس ۲ میلی‌لیتر آب و به دنبال آن ۲ میلی‌لیتر هگزان اضافه گردید. فالکونهای حاوی نمونه، آب و هگزان به مدت ۵ دقیقه تحت امواج فراصوت (سوئیکه) قرار گرفتند و سپس به مدت چند دقیقه، به صورت دستی بهشدت تکان داده شدند. فالکونها ۲۰ دقیقه به صورت ثابت در دمای آزمایشگاه برای جدا شدن فازهای مختلف قرار گرفتند و پس از آن، فاز بالابی را که حاوی ارگوسترون استخراجی بود، به دقت جمعآوری و حجم جداداشده یادداشت گردید و این فاز وارد لوله‌های مخصوص دستگاه HPLC شد؛ سپس مخلوط استخراج شده در دمای ۶۰ درجه سانتی گراد قرار گرفت تا خشک گردد. نمونه‌های خشک شده برای ارزیابی در ۱ میلی‌لیتر متانول حل شد و درنهایت، نمونه‌ها به دستگاه تزریق گردید. میزان ارگوسترون در نمونه‌ها و کنترل با استفاده از دستگاه HPLC (UV) با مشخصات ستون $25 \times 4.6\text{mm}$, $5\mu\text{m}$, C18 و فاز متحرک شامل ۷۰ درصد استونیتریل و ۳۰ درصد متانول و به صورت ایزوکراتیک، حجم تزریق ۲۰ میکرولیتر، سرعت جریان ۲ میلی‌لیتر بر دقیقه و آشکارساز مرئی-فرابنفش و در طول موج ۲۸۰ نانومتر اندازه گیری شد. همه آزمونهای بالا سه مرتبه به شکل مستقل تکرار گردید (۱۷).

برای اعتبارسنجی ارگوسترون سنجش شده، منحنی کالیراسیون در محدوده غلظتها بین صفر تا ۱۵۰ میلی‌گرم در لیتر ($0, 5, 10, 25, 50, 100$ و 150 میلی‌گرم در لیتر) از ارگوسترون در متانول رسم شد و معادله کالیراسیون با فرمول $\text{Area}=80.1\text{C}-30$ و ضریب خطی بودن $r=0.9998$ به دست آمد. به منظور ارزیابی کارآیی روشن بالا، مؤلفه‌های درصد خطأ (صحت)، درصد انحراف استاندارد (دقت) و حد تشخیص ارزیابی گردیدند و به ترتیب مقادیر ۵ درصد، ۳ درصد و 10% میلی‌گرم در لیتر به دست آمد. درنهایت، با استفاده

میتوکندریها است و بنابراین، مشخص کننده تعداد سلول‌های زنده در نمونه است. بر اساس این، در این روش میزان احیای نمک ترازوولیوم متناسب با وزن خشک محمره است. به منظور انجام آزمایش، ابتدا 100 میکرولیتر از سوسپانسیون prewarmed MTT $(5\text{٪} \text{ میلی‌گرم در میلی‌لیتر})$ پودر MTT در فسفات بافر حاوی 1٪ درصد گلوکز که به دمای 37°C درجه سانتی گراد رسیده بود) به هریک از گوده‌های پلی‌تیهای تیمارشده با غلظت‌های متوالی دو برابر $-40000-3125$ میکروگرم در میلی‌لیتر آنتول و پلی‌تیهای کنترل (برای ارزیابی قدرت تشکیل بیوفیلم) اضافه شد؛ سپس پلی‌تیهای مدت 4 ساعت در 37°C درجه سانتی گراد گرمانانه‌گذاری و پس از آن محلول MTT آسپریه گردید و گوده‌ها دو مرتبه به آرامی با فسفات بافر استریل شستشو شد؛ سپس به منظور حل کردن کریستالهای فورمازان ایجاد شده، 200 میکرولیتر اسید ایزوپروپیل الکل به گوده‌ها اضافه گردید و 100 میکرولیتر از محلول بالا به پلیت 96 خانه‌ای جدید منتقل و درنهایت، جذب نوری در Microplate Readers و طول موج 540 نانومتر خوانده شد (برای هر نمونه 3 تکرار مستقل در نظر گرفته شد). در پایان، درصد اثر مهاری آنتول بر تشکیل بیوفیلم در جدایه‌های کاندیدا گلابراتا از رابطه زیر به دست آمد:

$$\text{درصد اثر مهار کنندگی} = (\text{جذب نوری نمونه تقسیم بر جذب نوری کنترل} - 1) \times 100$$

تعیین میزان ارگوسترون غشایی در جدایه‌های کاندیدا گلابراتای تیمارشده با آنتول: به منظور ارزیابی اثر آنتول بر ارگوسترون غشایی جدایه‌های کاندیدا گلابراتا، ابتدا یک کلنی منفرد از کشت 18 ساعته جدایه‌ها به فالکونهای حاوی 50 میلی‌لیتر محیط سابورو دکستروز آگار منتقل گردید. برای هر جدایه یک فالکون به عنوان کنترل بدون آنتول و سه فالکون برای تیمار غلظت‌های MIC/2, MIC/4 و MIC/8 آنتول و یک فالکون برای تیمار با فلوكونازول در نظر گرفته شد. نمونه‌های بالا به مدت 16 ساعت در دمای 30°C درجه سانتی گراد در انکوباتور شیکردار با دور ۱۵۰ rpm قرار گرفتند و پس از آن با سانتریفیوژ در دور 2700 دور در دقیقه (g) به مدت پنج دقیقه نمونه‌ها رسوب داده شدند و پس

از رابطه زیر غلظت ارگوستروول در نمونه محاسبه شد:

$$C_f = \frac{C_m V_m}{V_H m}$$

که C_f غلظت نهایی ارگوستروول غشاء‌بی بر حسب میلی‌گرم بر گرم، C_m غلظت ارگوستروول در محلول متانولی بر حسب میکروگرم در میلی‌لیتر، V_m حجم متانول (یک میلی‌لیتر) و V_H حجم هگزان جدادشه بر حسب میلی‌لیتر و m جرم نمونه بر حسب گرم هستند.

تعیین آب‌گریزی (هیدروفویسیتی) سطحی در جدایه‌های کاندیدا گلابراتای تیمارشده با آنتول: هیدروفویسیتی سطحی سلول‌های پلاکتونی تیمارشده با آنتول و تیمارنشده بر اساس روش آنیل و همکاران (۱۸) و با استفاده از روش biphasic hydrocarbon/aqueous تعیین شد. بدین منظور، ابتدا جدایه‌های کاندیدا گلابراتا در دمای ۳۰ درجه سانتی‌گراد در محیط سابورو دکستروز آگار، به مدت ۲۴ ساعت کشت گردیدند و در ادامه، سوسپانسیون مخمری در فسفات بافر با جذب نوری معادل ۰/۶ - ۰/۴ در طول موج ۶۰۰ نانومتر که شامل ۱۰^۷ سلول در هر میلی‌لیتر بود،

ساخته شدند و پس از آن، در دور ۱۲۰۰۰ گذاشته شدند و یکبار با فسفات بافر شستشو داده شدند؛ سپس به هر لوله ۳ میلی‌لیتر فسفات بافر و ۲۵۰ میکرولیتر n-hexadecane اضافه گردید. لولهای خوب ورتکس شدند و ۱۵ دقیقه در ۳۰ درجه سانتی‌گراد قرار گرفتند. پس از آن، لولهای دو مرتبه به مدت ۴۰ ثانیه ورتکس گردیدند و بین هر ورتکس پنج دقیقه فاصله داده شد. لولهای ۱۵ دقیقه بدون حرکت در دمای آزمایشگاه گذاشته شدند تا دو فاز جدا گردد؛ سپس جذب نوری فاز آبی (فاز زیرین) در ۶۰۰ نانومتر خوانده و اعداد حاصله به عنوان A1 در نظر گرفته شد. در پایان، هیدروفویسیتی سطحی در گروه‌های تیمار و کنترل بر اساس رابطه زیر به دست آمد:

$$\text{CHS} = 1 - \frac{A_1}{A_0} \times 100 \quad (\text{درصد هیدروفویسیتی سطحی})$$

گردید. همان‌گونه که در جدول شماره ۱ نشان داده شده است، ۳۰ درصد از جدایه‌های کاندیدا گلابراتا نسبت به داروهای فلوکونازول و پوساکونازول مقاوم بودند و سایر آنها الگوی حساس یا حساس وابسته به دوز را از خود نشان دادند. بیشترین و کمترین میزان مقاومت در جدایه‌های مطالعه شده به ترتیب نسبت به داروهای ایتراکونازول (۴۰ درصد) و وریکونازول (۲۰ درصد) مشاهده گردید. حساسیت، حساسیت وابسته به دوز و مقاومت جدایه‌های مختلف کاندیدا گلابراتا و سویه استاندارد بر اساس دستورالعمل CLSI-M44-A2 مشخص شدند.

تجزیه و تحلیل آماری داده‌ها با نرم‌افزار GraphPad One-Way ANOVA و آزمون Prism vol.9.0.0.121 آزمون‌های دوتایی Tukey Test / Post-hoc ANOVA در سطح معنادار ۰/۰۵ انجام گرفت.

یافته‌های پژوهش

الگوی حساسیت جدایه‌های کاندیدا گلابراتا نسبت به داروهای ضدقارچی استاندارد: در این مطالعه، ابتدا الگوی حساسیت جدایه‌های ادراری کاندیدا گلابراتا نسبت به داروهای ضدقارچی استاندارد به روش انتشار دیسک ارزیابی

جدول شماره ۱. الگوهای حساسیت ضدقارچی جدایه‌های کاندیدا گلابراتا

الگوی حساسیت ضدقارچی			جدایه‌های
مقاآم	حساس وابسته به دوز	حساس	کاندیدا گلابراتا

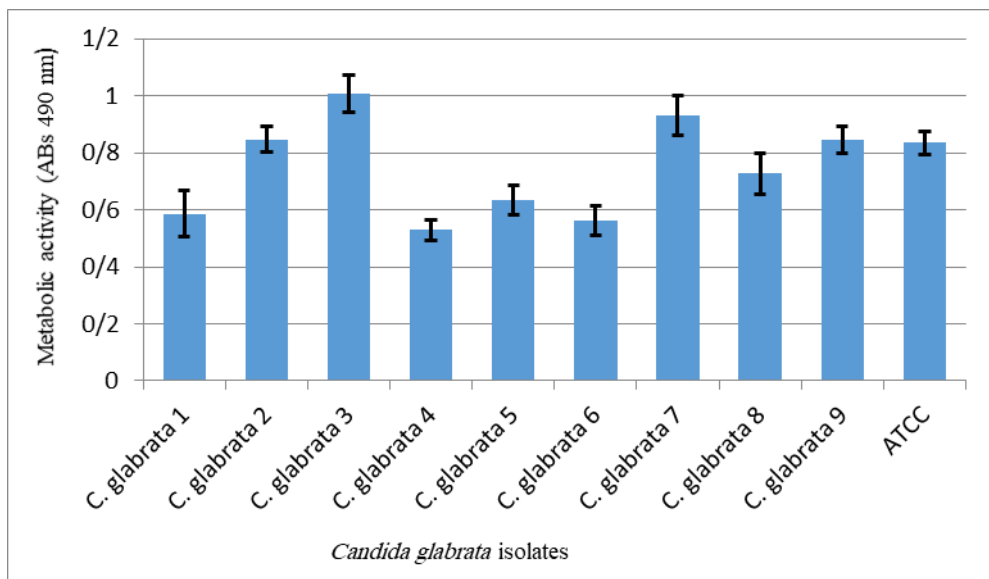
فلوکونازول، وریکونازول، ایتراکونازول، کتوکونازول، پوساکونازول	-	-	کاندیدا گلابراتا ۱
-	-	فلوکونازول، وریکونازول، ایتراکونازول، کتوکونازول، پوساکونازول	کاندیدا گلابراتا ۲
فلوکونازول، وریکونازول، ایتراکونازول، کتوکونازول، پوساکونازول	-	-	کاندیدا گلابراتا ۳
ایتراکونازول	-	فلوکونازول، وریکونازول، کتوکونازول، پوساکونازول	کاندیدا گلابراتا ۴
-	فلوکونازول، پوساکونازول، ایتراکونازول	وریکونازول، کتوکونازول	کاندیدا گلابراتا ۵
فلوکونازول، ایتراکونازول، کتوکونازول، پوساکونازول	-	وریکونازول	کاندیدا گلابراتا ۶
-	فلوکونازول، کتوکونازول، ایتراکونازول	وریکونازول، پوساکونازول	کاندیدا گلابراتا ۷
-	ایتراکونازول	فلوکونازول، وریکونازول، کتوکونازول، پوساکونازول	کاندیدا گلابراتا ۸
-	فلوکونازول، ایتراکونازول	وریکونازول، کتوکونازول، پوساکونازول	کاندیدا گلابراتا ۹
-	-	فلوکونازول، وریکونازول، ایتراکونازول، کتوکونازول، پوساکونازول	ATCC

توانایی تشكیل بیوفیلم: توanایی تشكیل بیوفیلم در جدایه‌های کاندیدا گلابراتا با استفاده از روش احیای نمک ترازوپلیوم ارزیابی گردید. همان‌گونه که در شکل شماره ۱ مشاهده می‌شود، همه جدایه‌های کاندیدا گلابراتا در شرایط برونتی، توانایی تشكیل بیوفیلم را از خود نشان دادند؛ اما توده بیوفیلم ایجاد شده وابسته به نوع جدایه است، به طوری که جدایه شماره سه (میانگین جذب نوری 1 ± 0.064) و جدایه شماره هفت (میانگین جذب نوری 0.072 ± 0.0932) بیشترین توده بیوفیلم را تشكیل دادند و جدایه‌های شماره چهار و شش

در میان جدایه‌های کاندیدا گلابراتا، جدایه‌های یک و سه نسبت به همه داروها مقاوم بودند، در حالی که جدایه‌های دو و استاندارد نسبت به همه داروهای مطالعه شده حساس ارزیابی شدند؛ همچنین نتایج نشان داد که ۶۰ درصد از جدایه‌ها هیچ‌گونه مقاومتی به داروهای مطالعه شده نداشتند و همگی الگوی حساس یا حساس وابسته به دوز را از خود نشان دادند. در این مطالعه، حساسیت متوسط (حساس وابسته به دوز) بهویژه برای داروهای ایتراکونازول و فلوکونازول دیده شد.

مقاومت جدایها و قدرت آنها در تشکیل بیوفیلم مشاهده نشد.

(میانگین جذب نوری به ترتیب 0.528 ± 0.037 و 0.561 ± 0.053) کمترین توانایی تشکیل بیوفیلم را از خود نشان دادند. در این مطالعه، توانایی معناداری میان الگوی



شکل شماره ۱. تشکیل بیوفیلم توسط جدایهای کاندیدا گلابراتا

میکروگرم در میلی لیتر متغیر بود. از سویی، حداقل غلظت کشنده آنتول نیز بین $1250-2500$ میکروگرم در میلی لیتر متغیر بود (میانگین 2125 میکروگرم در میلی لیتر). میانگین حداقل غلظت مهارکننده سلول‌های بیوفیلمی (SMIC) آنتول علیه جدایهای کاندیدا گلابراتا ارزیابی گردید. همان‌گونه که در جدول شماره ۲ نشان داده شده است، حداقل غلظت ممانعت از رشد آنتول در میان جدایهای کاندیدا گلابراتا بین $312/5-1250$ میلی لیتر محاسبه شد (جدول شماره ۲).

فعالیت ضدقارچی علیه مخمرهای پلانکتونی و بیوفیلمی: حداقل غلظت ممانعت از رشد (MIC)، حداقل غلظت کشنده (MFC) و حداقل غلظت مهارکننده سلول‌های بیوفیلمی (SMIC) ترکیب مونوتربنی آنتول علیه جدایهای کاندیدا گلابراتا ارزیابی گردید. همان‌گونه که در جدول شماره ۲ نشان داده شده است، حداقل غلظت ممانعت از رشد آنتول در میان جدایهای کاندیدا گلابراتا بین $312/5-1250$ آنتول در میان جدایهای کاندیدا گلابراتا بین $312/5-1250$ میلی لیتر

جدول شماره ۲. حداقل غلظت مهارکننده رشد و حداقل غلظت کشنده آنتول در سلول‌های پلانکتونی و بیوفیلمی کاندیدا گلابراتا

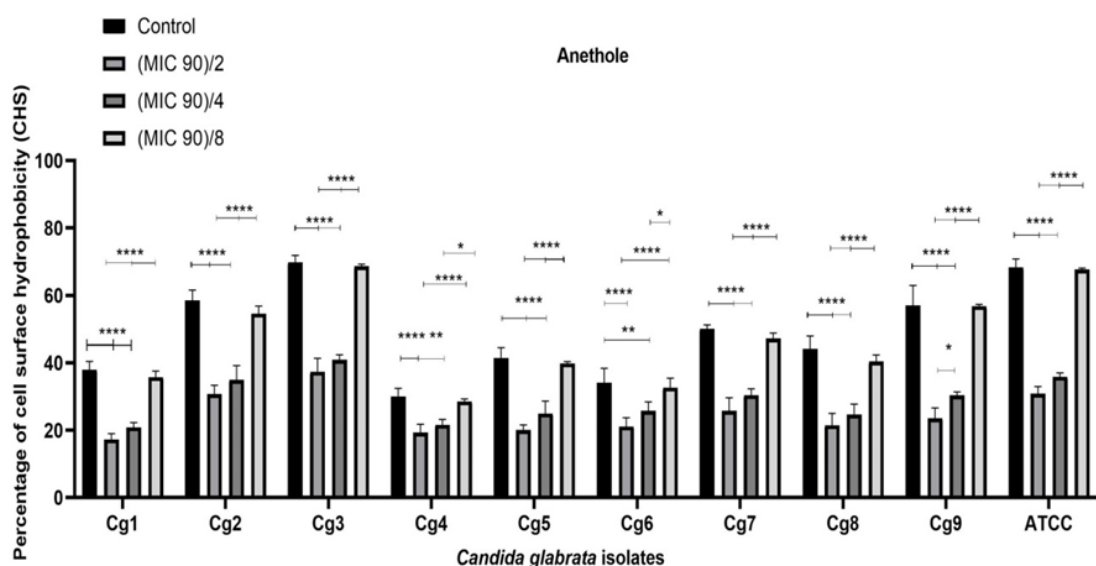
آنتول			جهایه‌های کاندیدا گلابراتا	
میکروگرم در میلی لیتر				
MIC ^a	MFC ^b	SMIC ^c		
۶۲۵	۲۵۰۰	۱۲۵۰	کاندیدا گلابراتا ۱	
۶۲۵	۲۵۰۰	۲۵۰۰	کاندیدا گلابراتا ۲	
۶۲۵	۲۵۰۰	۵۰۰۰	کاندیدا گلابراتا ۳	
۱۲۵۰	۲۵۰۰	۲۵۰۰	کاندیدا گلابراتا ۴	
۱۲۵۰	۲۵۰۰	۵۰۰۰	کاندیدا گلابراتا ۵	
۶۲۵	۱۲۵۰	۱۲۵۰	کاندیدا گلابراتا ۶	
۱۲۵۰	۲۵۰۰	۵۰۰۰	کاندیدا گلابراتا ۷	
۳۱۲/۵	۱۲۵۰	۱۲۵۰	کاندیدا گلابراتا ۸	

۱۲۵۰	۲۵۰۰	۲۵۰۰	کاندیدا گلابراتا
۶۲۵	۱۲۵۰	۱۲۵۰	ATCC

حداقل غلظت ممانعت از رشد آنتول روی سلول‌های پلانکتونیک؛ b. حداقل غلظت کشته‌آنتول روی سلول‌های پلانکتونیک؛ c. حداقل غلظت ممانعت از رشد آنتول بر سلول‌های بیوفیلمی (ارزیابی از طریق MTT Reduction assay)

جدایه‌های کاندیدا گلابراتا میانگین درصد هیدروفیسیتی سطحی در گروه محاسبه گردید (میانگین درصد هیدروفیسیتی در گروه کنترل). مقادیر $29/96 \pm 2/07$ و $29/96 \pm 2/07$ درصد به ترتیب کمترین و بیشترین میزان هیدروفیسیتی سطحی در گروه کنترل بودند.

اثر آنتول بر آبگریزی سطحی جدایه‌های کاندیدا گلابراتای تیمارشده با آنتول: درصد هیدروفیسیتی سطحی جدایه‌های کاندیدا گلابراتا در مواجهه با آنتول با استفاده از روش چسبندگی به هیدروکربن‌ها (ان هگززادکان) محاسبه گردید. همان‌گونه که در شکل شماره ۲ و جدول شماره ۳ نشان داده شده است، میانگین هیدروفیسیتی سطحی



شکل شماره ۲. اثر غلظتهاي subMIC آنتول بر درصد آبگریزی سطحی سلول‌های کاندیدا گلابراتا در مقایسه با گروه کنترل

جدول شماره ۳. میانگین درصد آبگریزی سطحی سلول‌های کاندیدا گلابراتا در تیمار با غلظتهاي subMIC آنتول در مقایسه با گروه کنترل

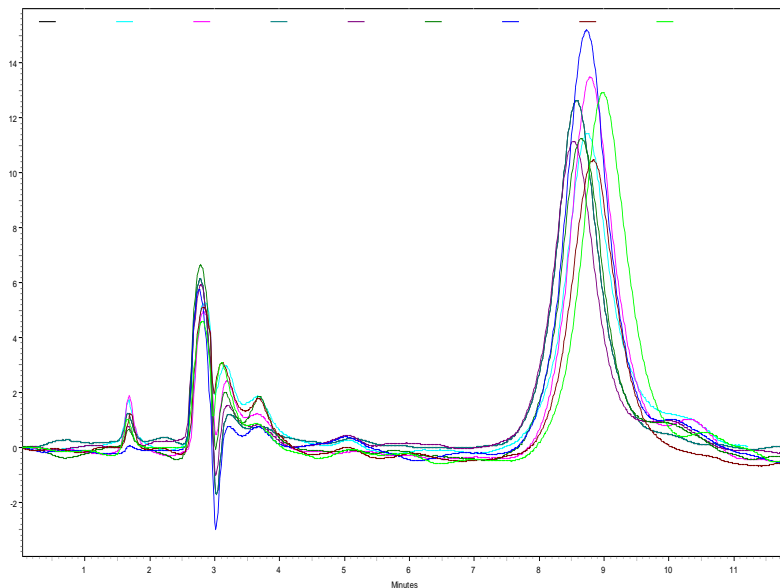
کنترل	آبگریزی ± انحراف معیار			جدایه‌های کاندیدا گلابراتا	
	آنتول				
	MIC/8	MIC/4	MIC/2		
۳۷/۹۰ ± ۲/۵۴	۳۵/۷۲ ± ۱/۸۸	۲۰/۸۲ ± ۱/۴۴	۱۷/۲۷ ± ۱/۷۱	کاندیدا گلابراتا ۱	
۵۸/۵۴ ± ۳/۰۴	۵۴/۵۶ ± ۲/۳	۳۴/۸۹ ± ۴/۳	۳۰/۷۳ ± ۲/۶	کاندیدا گلابراتا ۲	
۶۹/۸۱ ± ۲/۰۷	۶۸/۷۰ ± ۰/۶۱	۴۰/۸۳ ± ۱/۵۸	۳۷/۳۴ ± ۴/۰۱	کاندیدا گلابراتا ۳	
۲۹/۹۶ ± ۲/۰	۲۸/۵۴ ± ۰/۷۳	۲۱/۶۲ ± ۱/۵۶	۱۹/۳ ± ۲/۵	کاندیدا گلابراتا ۴	
۴۱/۳۴ ± ۳/۱۵	۳۹/۸۰ ± ۰/۵۶	۲۴/۹۵ ± ۳/۷۱	۲۰/۰۴ ± ۱/۵۵	کاندیدا گلابراتا ۵	
۳۴/۱۳ ± ۴/۲۴	۳۲/۶۴ ± ۲/۸۱	۲۵/۷۳ ± ۲/۶۵	۲۱/۱۲ ± ۲/۵۹	کاندیدا گلابراتا ۶	
۵۰/۰۴ ± ۱/۲۱	۴۷/۱۶ ± ۱/۷۲	۳۰/۳۸ ± ۱/۹۰	۲۵/۷۷ ± ۳/۸۶	کاندیدا گلابراتا ۷	
۴۴/۰۶ ± ۴/۹۳	۴۰/۳۴ ± ۲	۲۴/۶۵ ± ۳/۰۶	۲۱/۴۵ ± ۳/۵۲	کاندیدا گلابراتا ۸	

۵۷/۰۳±۵/۶۴	۵۶/۷۸±۰/۰۵۸	۳۰/۳۵±۰/۰۱	۲۳/۴۸±۳/۱۲	۹ کاندیدا گلابراتا
۶۸/۳۱±۲/۵۵	۶۷/۶۶±۰/۴۶	۳۵/۸۷±۱/۱۳	۳۰/۸±۲/۱۸	ATCC
۴۹/۱۳±۱۱/۹۶	۴۷/۱۴±۱۹/۲۲	۲۹/۶±۰/۱۶۱	۲۴/۶±۷۳/۳۷	میانگین

مشاهده نگردید.

اثر آنتول بر ارگوسترون غشایی جدایه‌های کاندیدا گلابراتای تیمارشده با آنتول: اثر غلظتها مختلف آنتول بر ارگوسترون غشایی جدایه‌های کاندیدا گلابراتا با روش HPLC ارزیابی شد. غلظت ارگوسترون بر اساس میلیگرم در گرم توده مخمری بر اساس سطح زیر پیک مربوط به کروماتوگرام ارگوسترون محاسبه گردید (شکل شماره ۳).

پس از قرار گیری سلول‌های پلاتکتونیک در معرض غلظتها MIC/2 و MIC/4 آنتول، میانگین میزان هیدروفوئیستی سطحی در جدایه‌های مطالعه شده در مقایسه با گروه کنترل، به شکل معناداری کاهش یافت ($P<0.05$)، به طوری که درصد هیدروفوئیستی سطحی در گروه تیمارشده با آنتول معادل $۲۴/۷۳\pm۶/۳۷$ و در گروه تیمارشده با آنتول معادل $۱\pm۶/۶۱$ تعیین شد. تفاوت معناداری میان گروه کنترل و گروه تیمارشده با غلظت MIC/8 آنتول



شکل شماره ۳. روماتوگرام‌های HPLC مربوط به ارگوسترون استخراج شده از سلول‌های کاندیدا گلابراتای تحت تیمار با غلظتها مختلف آنتول.

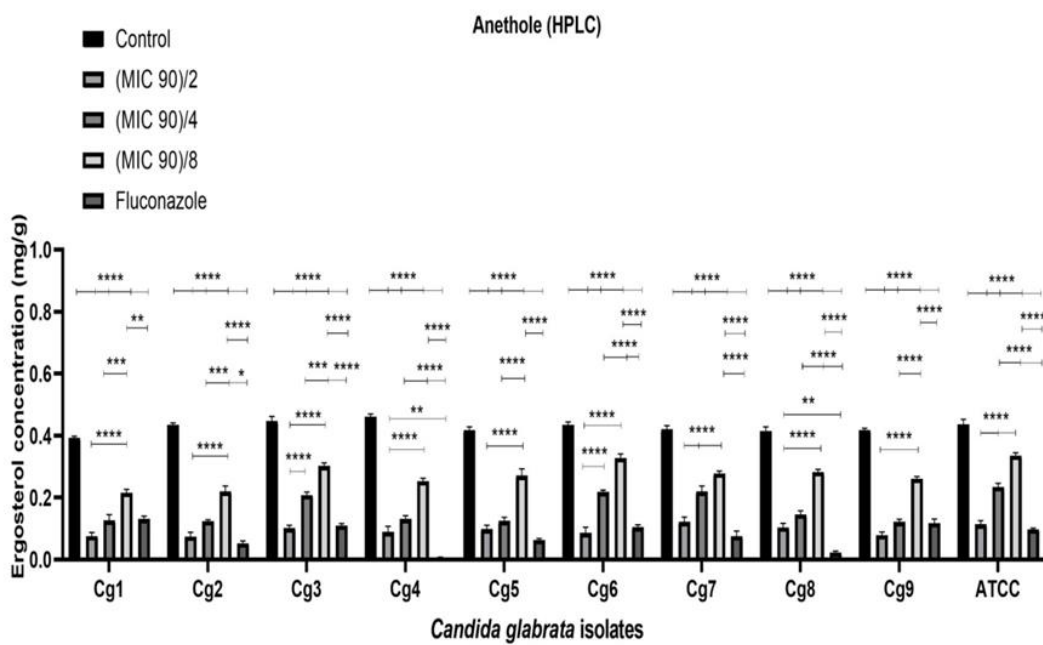
گلابراتای ATCC، آنتول در غلظتها $۰/۵$ ، $۰/۲۵$ و $۰/۱۲۵$ میکروگرم در میلی لیتر در مقایسه با گروه کنترل، به ترتیب باعث کاهش $۷۳/۹۲$ ، $۴۶/۴۶$ و $۲۳/۳۵$ درصدی ارگوسترون غشایی شد (جدول شماره ۴). آنتول در همه غلظتها مطالعه شده باعث کاهش معنادار ووابسته به دوز ارگوسترون غشایی گردید (شکل شماره ۴).

آنتول در همه غلظتها sub MIC باعث تغییر در میزان ارگوسترونی غشای سلولی جدایه‌های کاندیدا گلابراتای مطالعه شده گردید. نتایج نشان داد که کاهش ارگوسترون غشایی در باره آنتول الگویی وابسته به دوز دارد. در واقع، با افزایش غلظت آنتول، میزان ارگوسترون غشایی کاهش ییشتی را از خود نشان می‌دهد. در ارتباط با کاندیدا

جدول شماره ۴. میانگین غلظت ارگوسترون (میلیگرم در گرم) سلول‌های کاندیدا گلابراتا در تیمار با غلظتها subMIC آنتول در مقایسه با گروه کنترل

جدایه‌های	غلظت ارگوسترون (میلیگرم در گرم) [±] انحراف معیار
-----------	---

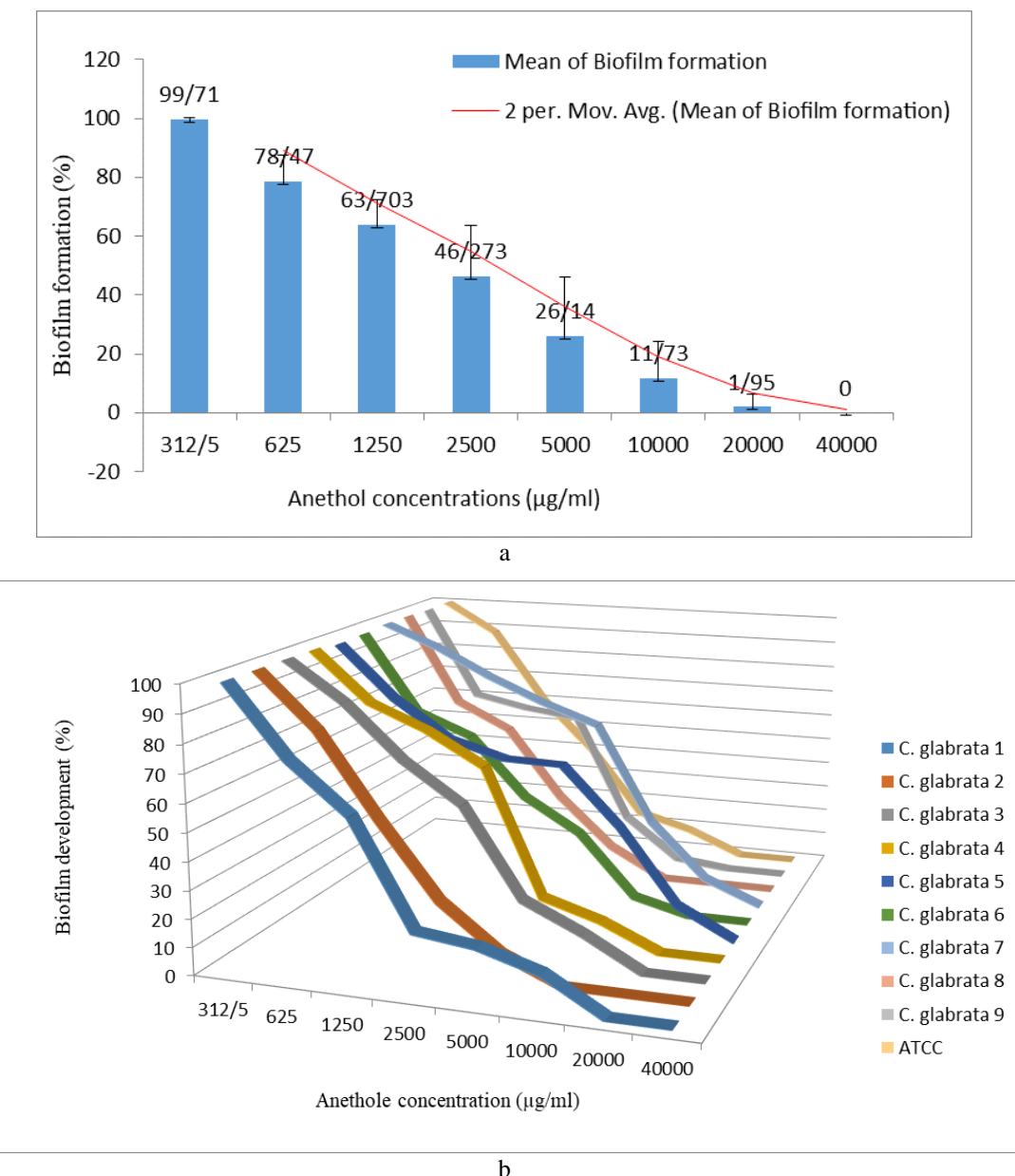
کنترل	آنتول			کاندیدا گلابراتا
	MIC/8	MIC/4	MIC/2	
۰/۳۹۲±۰/۰۱۱	۰/۲۱۶±۰/۰۱۸	۰/۱۲۷±۰/۰۳۲	۰/۰۲۰±۰/۰۷۶	کاندیدا گلابراتا ۱
۰/۴۳۴±۰/۰۱۲	۰/۲۱۹±۰/۰۱۱	۰/۱۲۴±۰/۰۰۸	۰/۰۷۴±۰/۰۲۴	کاندیدا گلابراتا ۲
۰/۴۴۷±۰/۰۲۶	۰/۳۰۲±۰/۰۱۷	۰/۲۰۸±۰/۰۱۸	۰/۱۰۱±۰/۰۱۶	کاندیدا گلابراتا ۳
۰/۴۶۱±۰/۰۱۶	۰/۲۵۳±۰/۰۱۶	۰/۱۳۱±۰/۰۱۹	۰/۰۸۹±۰/۰۳۲	کاندیدا گلابراتا ۴
۰/۴۱۸±۰/۰۱۹	۰/۲۷۱±۰/۰۱۳	۰/۱۲۵±۰/۰۲۰	۰/۰۹۹±۰/۰۲۱	کاندیدا گلابراتا ۵
۰/۴۳۴±۰/۰۱۷	۰/۳۲۷±۰/۰۱۰	۰/۲۱۸±۰/۰۱۰	۰/۰۸۶±۰/۰۳۳	کاندیدا گلابراتا ۶
۰/۴۲۱±۰/۰۱۹	۰/۲۷۸±۰/۰۰۶	۰/۲۲۰±۰/۰۳۱	۰/۱۲۱±۰/۰۲۷	کاندیدا گلابراتا ۷
۰/۴۱۴±۰/۰۲۵	۰/۲۸۲±۰/۰۰۸	۰/۱۴۶±۰/۰۲۰	۰/۱۰۴±۰/۰۲۳	کاندیدا گلابراتا ۸
۰/۴۱۸±۰/۰۱۰	۰/۲۶۰±۰/۰۰۷	۰/۱۲۱±۰/۰۱۵	۰/۰۷۹±۰/۰۱۷	کاندیدا گلابراتا ۹
۰/۴۳۷±۰/۰۲۸	۰/۳۳۵±۰/۰۱۷	۰/۲۳۴±۰/۰۲۰	۰/۱۱۴±۰/۰۲۰	ATCC



شکل شماره ۴. اثر غلظتهای آنتول بر ارگوسترون غشایی سلول‌های کاندیدا گلابراتا در مقایسه با گروه کنترل.

الگویی وابسته به دوز روند تشکیل بیوفیلم‌های کاندیدا گلابراتا را مهار می‌کند. در غلظت ۲۵۰۰ میکرو گرم در میلیلیتر آنتول، کاهش بیش از ۵۰ درصدی در شکلگیری بیوفیلم‌های کاندیدا گلابراتا (۵۳/۷ درصد) دیده می‌شود.

اثر آنتول بر فعالیت متابولیکی توده‌های بیوفیلمی: همان‌گونه که در شکل شماره ۵ نشان داده شده است، اثر غلظتهای متوالی آنتول بر فعالیت متابولیکی توده‌های بیوفیلمی در حال تشکیل کاندیدا گلابراتا ارزیابی گردید. نتایج نشان دادند که آنتول با



شکل شماره ۵. میانگین درصد تشکیل بیوفیلم توسط جدایهای کاندیدا گلابراتا در سه بار تکرار مجزا و در حضور غلظتها مختلف آنتول. خط روند (Trend line) به رنگ قرمز نشان‌دهنده الگوی واپسیه به دوز اثر آنتول بر شکلگیری بیوفیلمهای کاندیدا گلابراتا است؛ b. فعالیت متابولیکی بیوفیلمهای کاندیدا گلابراتا در حضور غلظتها مختلف آنتول ۲۴ ساعه کاندیدا گلابراتا در حضور غلظتها مختلف آنتول

بحث و نتیجه‌گیری
مخمر کاندیدا آلیکنس اغلب به عنوان شایع‌ترین علت کاندیدیازیس در انسان و حیوانات شناخته شده است، هرچند در سراسر جهان، عفونت‌های ناشی از سویه‌های غیر آلیکنسی مانند کاندیدا گلابراتا، به ویژه به دنبال استفاده پیشگیری کننده از داروهای ضدقارچی در حال افزایش است که به ایجاد مقاومت اکتسابی به این داروها منجر می‌شود.

در این مطالعه، در بیشترین غلظت استفاده شده از آنتول (۴۰۰۰۰ میکروگرم در میلی‌لیتر)، هیچ گونه فعالیت متابولیکی مربوط به توده‌های بیوفیلمی کاندیدا گلابراتا قابل‌ردیابی نبود و آنتول در این غلظت باعث مهار کامل بیوفیلمهای کاندیدا گلابراتا شد (میزان مهار شکلگیری بیوفیلم در غلظت ۴۰۰۰۰ میکروگرم در میلیلیتر آنتول معادل ۱۰۰ درصد محاسبه گردید).

توانایی بیشتری را نسبت به کاندیدا آلبیکنست برای تشکیل بیوفیلم از خود نشان می‌دهند؛ اما در محیط شبیه‌سازی شده ادرار، توانایی آن‌ها در شکل‌گیری بیوفیلم همانند جدایه‌های کاندیدا آلبیکنست است. پژوهشگران دیگر نیز گزارش کردند که همه جدایه‌های کاندیدا گلابراتا مانند کاندیدا آلبیکنست، توانایی تشکیل بیوفیلم را دارند که بر نتایج ما منطبق است؛ اما به علت تشکیل نشدن هایف حقیقی در کاندیدا گلابراتا، سازوکار استحکام و بقای توده بیوفیلمی کماکان در هاله‌ای از ابهام قرار دارد. تصور می‌شود که کربوهیدرات‌های ماتریکس خارج سلولی به‌ویژه بتا ۱ و ۳ گلوکان، در بقا و استحکام بیوفیلمهای کاندیدا گلابراتا نقش اصلی را ایفا کنند (۲۳).

مطالعات مختلف نشان دادند که بیوفیلمهای کاندیدا گلابراتا در شرایط برونتی و حتی نمونه‌های حیوانی، نسبت به داروهای گروه آزول و حتی پلینیا مقاومت نشان می‌دهند؛ اما نسبت به اکینوکاندینهای همچنان حساس هستند (۲۴). ریشه کن کردن بیوفیلمهای کاندیدا به علت تحمل ذاتی یا اکتسابی به ضدقارچ‌ها، بسیار دشوار است. در حقیقت، مقاومت به آزولها در میان گونه‌های کاندیدا به‌ویژه کاندیدا گلابراتا، در حال حاضر یکی از بزرگ‌ترین چالش‌های بالینی است؛ از این‌رو، یافتن راهکارهای درمانی با ترکیبات طبیعی اهمیت فراوانی دارد.

آن‌تول (۱-متوكسی-۴-ایزوپروپینیل-بنزن) یک فنیل پروپانوئید گیاهی است که یکی از اجزای اصلی عطرماهیهای گیاهی مانند آنسیون، رازیانه و بادیان رومی را تشکیل می‌دهد. مطالعات نشان داده‌اند که آن‌تول آثار ضدباکتریایی و ضدقارچی فراوانی را از خود نشان می‌دهد (۱۳). در مطالعه‌های آثار ضدقارچی عصاره و عطرماهیه آنسیون در برابر ۷ مخمر و ۴ درماتوفیت ارزیابی شد. نتایج فعالیت ضدقارچی قوی در برابر کاندیدا گلابراتا و میکروسپوروم کنیس را نشان داد. در مطالعه حاضر، میانگین MIC و MFC آن‌تول علیه جدایه‌های مطالعه شده به ترتیب ۸۴۳/۷۵ و ۲۱۲۵ میکروگرم در میلی‌لیتر محاسبه گردید. فوجیتا و همکاران (۲۴) در سال ۲۰۰۷، به بررسی اثر سینزیستی آن‌تول با دودکانول علیه گونه‌های مختلف قارچی پرداختند و نشان

کاندیدا گلابراتا توانایی چسبیدن و تشکیل بیوفیلم روی هردو سطح زنده و غیرزنده، مانند بافت‌های میزان و دستگاه‌های پژوهشکی ایمپلنتی را دارد (۱۹)؛ از این‌رو، امروزه کاندیدا گلابراتا به عنوان یکی از مهم‌ترین عوامل عفونت‌های کاندیدایی غیر آلبیکنستی شاخته می‌شود. شیوع عفونت‌های ادراری و تناسلی با این قارچ امروزه رو به افزایش است و با توجه به مقاومت اکتسابی کاندیدا گلابراتا به آزول‌ها، کترول عفونت‌های ناشی از آن به عنوان یکی از مهم‌ترین معضلات درمانی در عفونت‌های کاندیدایی مطرح است؛ بنابراین، در این مطالعه، ابتدا الگوی حساسیت جدایه‌های کاندیدا گلابراتا به داروهای ضدقارچی رایج و همچنین توانایی آن‌ها در ایجاد توده‌های بیوفیلمی ارزیابی گردید و پس از آن، به بررسی اثر آنتول بر حساسیت ضدقارچی سلول‌های پلاتکتونیک و بیوفیلمی، آبگریزی سطحی و تغییر در ارگوستروم غشایی پرداخته شد.

در مطالعه حاضر، حساسیت متوسط (حساس وابسته به دوز) در ۴۰ درصد از جدایه‌های کاندیدا گلابراتا، به‌ویژه در ارتباط با فلوکونازول و ایتراکونازول دیده شد. این یافته با مطالعات انجام‌شده پیشین در این زمینه مطابقت دارد (۲۰، ۲۱). پژوهش‌های مختلف در ایران حساسیت جدایه‌های بالینی کاندیدا نسبت به داروهای ضدقارچی را مطالعه کردند و بسته به محل جداسازی و درگیری بالینی، میزان مقاومت گونه‌های مختلف کاندیدا نسبت به فلوکونازول ۰ تا ۴۰ درصد گزارش شده است (۲۱). همسو با مطالعات پیشین، در این مطالعه، از ۱۰ نمونه کاندیدا گلابراتای ادراری، ۳ نمونه (۳۰ درصد نمونه‌ها) نسبت به فلوکونازول مقاوم بودند.

توانایی تشکیل بیوفیلم توسط جدایه‌های کاندیدا گلابراتا در مطالعات مختلف ارزیابی گردیده است، به‌طوری که در مطالعه جین و همکاران (۲۲)، در ارتباط با توانایی تشکیل بیوفیلم و همچنین حساسیت جدایه‌های ادراری کاندیدا نسبت به داروهای ضدقارچی مشخص شد که همه نمونه‌های ادراری کاندیدا گلابراتا در شرایط برونتی، توانایی تشکیل بیوفیلم را دارند. این پژوهشگران اظهار داشتند که نمونه‌های ادراری کاندیدا گلابراتا در محیط RPMI1640

پلاتکتونی کاندیدایی جداسده از منابع مختلف با تشکیل بیوفیلم روی این سطوح ارتباط مستقیم دارد (۲۸). در مطالعه سیلوادیاس و همکاران (۲۹)، رابطه مثبتی میان توده بیوفیلم و آبگریزی سطحی سویه‌های کاندیدا گلابراتا و کاندیدا پاراپریلوزیس مشخص گردید؛ همچنین همبستگی میان فعالیت متابولیکی و آبگریزی سطحی تنها برای کاندیدا آلیکنس و کاندیدا تروپیکالیس یافت شد. اثر ترکیبات ترپنئیدی طبیعی بر آبگریزی سطحی جدایه‌های مختلف کاندیدا در مطالعات مختلف ارزیابی گردیده است. پائولو و همکاران (۳۰) نشان دادند که اوژنول به شکل معناداری آبگریزی سطحی و به دنبال آن، اتصال و تشکیل بیوفیلم در جدایه‌های دهانی کاندیدا تروپیکالیس و کاندیدا دابلینیسیس مربوط به افراد ایدزی را کاهش می‌دهد. کاهش آبگریزی سطحی و تشکیل بیوفیلم در گونه‌های مختلف کاندیدا از جمله کاندیدا گلابراتا در تیمار با غلظت‌های subMIC عطر مایه گیاهان غنی از تیمول در مطالعه خان و همکاران (۳۱) نیز نشان داده شده است.

در این مطالعه، آنتول میزان آبگریزی سطحی در جدایه‌های مطالعه شده در غلظتهاي MIC/2 و 4/MIC در مقایسه با گروه کنترل را به شکل معناداری کاهش داد ($P<0.05$). تفاوت معناداری میان گروه کنترل و گروه تیمار شده با غلظت 8/MIC آنتول مشاهده نشد. غلظت‌های subMIC استفاده شده به صورت چشمگیری آبگریزی سطحی و به دنبال آن، تشکیل بیوفیلم را در جدایه‌های کاندیدا گلابراتا کاهش دادند. همسو با آن، ترکیباتی همچون آلفا توجون، کارون، متول، ایزوپولگول، نرول و لینالول فعالیت آنتی بیوفیلم را در غلظتهاي بسیار کمتر از غلظتهاي مهار کننده رشد نشان دادند (۳۲). سلول‌های آبگریز چسبندگی و مقاومت پیشتری در برابر فاگوسیتوز دارند و درنتیجه، نسبت به سلول‌های آب‌دوست از حدت پیشتری برخوردارند؛ بنابراین، کاهش آبگریزی سطحی توسط آنتول می‌تواند با جلوگیری از اتصال و در ادامه، کلینیزاسیون کاندیدا گلابراتا روی سطوح زیستی و صناعی از یکسو و جلوگیری از تشکیل توده‌های بیوفیلمی و مقاومت ناشی از آنها از سوی دیگر، به اختلال در

دادند که حداقل غلظت ممانعت کننده آنتول علیه کاندیدا آلیکنس و ساکارومایسس سرویسی به ترتیب ۴۰۰ و ۲۰۰ میکروگرم در میلی لیتر است. این پژوهشگران نشان دادند که آنتول در ترکیب با دودکانول می‌تواند توانایی مهار رشد قارچی دودکانول را به قابلیت قارچکشی ارتقا دهد. محمدزاده و همکاران (۲۵) نیز در سال ۲۰۲۰، به بررسی اثر آنتول بر بیوفیلم‌های دوگانه استافیلوکوکوس اورئوس کاندیدا آلیکنس پرداختند. این پژوهشگران نشان دادند که آنتول علاوه بر مهار تشکیل بیوفیلم‌های دوگانه، بسته به نوع جدایه، در غلظت‌های ۷۵۰ تا ۱۵۰۰ میکروگرم در میلی لیتر باعث مهار رشد سلول‌های پلاتکتونیک کاندیدا آلیکنس می‌شود که با نتایج این مطالعه قرابت دارد. در مطالعه دیگری، اثر مهارکننده‌گی آنتول بر گونه‌های کاندیدا در غلظت ۶۲۰ میکروگرم در میلی لیتر نشان داده شد (۲۶). دابروسکا و همکاران (۲۷) در سال ۲۰۲۱، به بررسی اثر آنتول بر جدایه‌های کاندیدا آلیکنس پرداختند. نتایج نشان داد که همه جدایه‌های مخمر به آنتول حساس هستند. حداقل غلظت مهارکننده‌گی حدود ۶۱/۷۵ تا ۲۴۷ میلی گرم در میلی لیتر و حداقل غلظت کشنده‌گی حدود ۲۴۷ تا ۴۹۴ میلی گرم در میلی لیتر بود. تفاوت در غلظت‌های مؤثر آنتول در مطالعات مختلف می‌تواند ناشی از تفاوت در گونه کاندیدایی مطالعه شده باشد، هرچند اثر آنتول بر جدایه‌های کاندیدا گلابراتا تاکنون گزارش نشده است. علاوه بر این، مخزن جدایه‌های مطالعه شده، الگوی حساسیت آنها با داروهای ضدقارچی استاندارد، تفاوت در متغیرهای آزمون حساسیت و یا ایزومر استفاده شده از آنتول و درصد خلوص آن نیز می‌تواند در این امر تأثیرگذار باشد.

چسبندگی میکروبی روی سطح بسترها اولین مرحله تشکیل بیوفیلم است و پوشش سلولی و ویژگی‌های آن اولین واسطه تعامل میان میکرووارگانیسم و محیط است. آبگریزی سطحی (هیدروفیزیتی) یک ویژگی مهم اما غیراختصاصی است که به اتصال گونه‌های مختلف کاندیدا روی سطوح مخاطی بدن میزان کمک می‌کند. همسو با نتایج مطالعه حاضر، نشان داده شده است که آبگریزی سطحی سلول‌های

می‌گذارد و به عبارتی، دیواره و غشای سلولی مخمرهای کاندیدا گلابراتا می‌تواند محل هدف آنتول باشد.

با توجه به یافته‌های این مطالعه نتیجه‌گیری می‌شود که آنتول علاوه بر اثر ضدقارچی علیه جدایه‌های کاندیدا گلابراتا، توانایی کاهش آبگریزی سطحی سلول‌های کاندیدایی را دارد. این خاصیت تغییر کاهشی آبگریزی سطحی به کاهش توانایی اتصال این سلول‌ها به سطوح و درنتیجه آن، جلوگیری از تشکیل توده‌های بیوفیلمی منجر می‌گردد. با توجه به عملکرد آنتول علیه جدایه‌های با الگوی متفاوت حساسیت، استفاده از آن در کنار داروهای ضدقارچی و استاندارد نیازمند بررسی‌های فارماکوکیتیک و فارماکودینامیک این ماده طبیعی است. با توجه به یافته‌های این مطالعه به نظر می‌رسد که عملکرد ضد کاندیدایی آنتول ترکیبی از اثر بر دیواره سلولی و غشای پلاسمایی است. این در حالی است که روشن تر شدن این ادعا نیاز به مطالعات بیشتر و گستردگر در این زمینه دارد.

سپاس‌گزاری

نویسنده‌گان مقاله از خدمات کارشناسان محترم آزمایشگاه قارچ‌شناسی دانشکده دامپزشکی دانشگاه تهران در انجام نمونه‌برداری نهایت تشکر را دارند.

تعارض منافع

نویسنده‌گان این مطالعه هیچ‌گونه تضاد منافعی برای نویسنده‌گان ندارد.

کد اخلاق

برای این پژوهش شناسه اخلاقی به شماره ۳۰۰۵۱۱/۶/۴ در معاونت پژوهشی دانشکده دامپزشکی دانشگاه تهران ثبت شده است.

حمایت مالی

این مطالعه توسط معاونت پژوهشی دانشگاه تهران حمایت مالی شده است.

مشارکت نویسنده‌گان

همه نویسنده‌گان در نوشتمن و تایید نهایی مقاله و جمع آوری داده‌ها و آنالیز آن مشارکت داشته‌اند.

رونده بیماری‌زایی کاندیدا گلابراتا منجر شود.

ارگوسترول خاص قارچ‌ها و مهم‌ترین ترکیب استرولی در غشای سلولی قارچ‌ها است که مسئول حفظ عملکرد و یکپارچگی سلول است. سازوکار اولیه عملکردی که داروهای ضدقارچی گروه آزوی از رشد سلول‌های قارچی جلوگیری می‌کند، ایجاد اختلال در مسیرهای بیوستر پیش‌سازهای استرول‌های غشایی است که به کاهش بیوستر ارجوسترول منجر می‌گردد؛ بنابراین، در این مطالعه، اثر آنتول بر ارجوسترول غشایی به روش HPLC ارزیابی شد. نتایج نشان داد که ارجوسترول غشایی در تیمار با آنتول، الگویی وابسته به دوز دارد؛ همچنین در همه غلظت‌های مطالعه شده، آنتول به شکل معناداری باعث کاهش میزان ارجوسترول غشایی گردید. مطابق با نتایج مطالعه‌ما، سامبر و همکاران (۳۳) نشان دادند که عطرمایی گیاه نعناع با کاهش سیار فراوان در محتواهای ارجوسترولی سلول‌های کاندیدا آلیکنس و کاندیدا تروپیکالیس، به شکستگی غشای سلولی و تغییرات در مورفولوژی آن‌ها منجر می‌شود؛ همچنین علیزاده و همکاران (۳۴) در سال ۲۰۱۸، به بررسی اثر مونوتربن گیاهی کارواکرول بر ارجوسترول غشایی و زن‌های مربوط به ستر ارجوسترول در جدایه‌های کاندیدا آلیکنس پرداختند. این پژوهشگران نشان دادند که کارواکرول با اتصال به ارجوسترول غشای قارچ، باعث کاهش ۵۲ درصدی در محتواهای ارجوسترول و کاهش بیان زن‌های ERG3 و ERG11 در مقایسه با کنترل می‌گردد. در مطالعات دیگر، اثر ساختارهای ترپنئیدی گیاهی مانند ژرانیول، ایزومرهای سیترال و اوژنول بر ارجوسترول غشایی نشان داده شده است و به احتمال فراوان، اختلال در ستر و ساختار ارجوسترول یکی از سازوکارهای ضدقارچی این ترکیبات است (۳۵). بر اساس بررسی‌ما، تاکنون مطالعه مدونی روی اثر آنتول بر ارجوسترول غشای سلول‌های کاندیدایی گزارش نشده است و این مطالعه برای اولین بار اثر آنتول بر ارجوسترول غشای سلول‌های کاندیدا گلابراتا را نشان داد. در مطالعه ما مشخص گردید که آنتول هم روی خصوصیات دیواره سلولی (آبگریزی سطحی) و هم بر غشای سلولی (تغییر میزان ارجوسترولی غشا) تأثیر

References

- de Oliveira Santos GC, Vasconcelos CC, Lopes AJO, de Sousa Cartágenes MdS, Filho AKDB, do Nascimento FRF, et al. *Candida* infections and therapeutic strategies: mechanisms of action for traditional and alternative agents. *Front Microbiol* 2018; 3:1351. doi: 10.3389/fmicb.2018.01351.
- Mohamed AA, Lu XL, Mounmin FA. Diagnosis and treatment of esophageal candidiasis: current updates. *Can J Gastroenterol Hepatol* 2019; 1:3585136. doi: 10.1155/2019/3585136.
- García-Agudo L, Rodríguez-Iglesias M. Nosocomial candiduria in the elderly: microbiological diagnosis. *Mycopathologia* 2017; 1:1-6. doi: 10.1007/s11046-017-0232-7.
- Pemán J, Ruiz-Gaitán A. Candidemia from urinary tract source: the challenge of candiduria. *Hosp Pract* 2018; 46:243-5. doi: 10.1080/21548331.2018.1538623.
- de Paula SB, Bartelli TF, Di Raimo V, Santos JP, Morey AT, Bosini MA, et al. Effect of eugenol on cell surface hydrophobicity, adhesion, and biofilm of *Candida tropicalis* and *Candida dubliniensis* isolated from oral cavity of HIV-infected patients. *Evidence-Based Alt Med* 2014; 2014:505204. doi:10.1155/2014/505204.
- Li WS, Chen YC, Kuo SF, Chen FJ, Lee CH. The impact of biofilm formation on the persistence of candidemia. *Front Microbiol* 2018; 4:1196. doi: 10.3389/fmicb.2018.01196.
- Taff HT, Mitchell KF, Edward JA, Andes DR. Mechanisms of *Candida* biofilm drug resistance. *Future Microbiol* 2013; 8:1325-37. doi: 10.2217/fmb.13.101.
- Ellepola AN, Samaranayake LP. Investigative methods for studying the adhesion and cell surface hydrophobicity of *Candida* species: an overview. *Microb Ecol Health Dis* 2001; 13:46-54. doi: 10.1080/089106001750071708.
- Clotz SA, Drutz DJ, Zajic JE. Factors governing adherence of *Candida* species to plastic surfaces. *Infect Immun* 1985; 50:97-101. doi: 10.1128/iai.50.1.97-101.1985.
- Panagoda GJ, Ellepola ANB, Samaranayake LP. Adhesion of *Candida* parapsilosis to epithelial and acrylic surfaces correlates with cell surface hydrophobicity. *Mycoses* 2001; 44:29-35. doi: 10.1046/j.1439-0507.2001.00611.x.
- Pinheiro PF, Menini LAP, Bernardes PC, Saraiva SRH, Carneiro JWM, Costa AV, et al. Semisynthetic phenol derivatives obtained from natural phenols: antimicrobial activity and molecular properties. *J Agri Food Chem* 2018; 66:323-30. doi: 10.1021/acs.jafc.7b04418.
- Khan MS, Ahmad I. Antibiofilm activity of certain phytocompounds and their synergy with fluconazole against *Candida albicans* biofilms. *J Antimicrob Chemother* 2012; 67:618-21. doi: 10.1093/jac/dkr512.
- Kubo I, Fujita KI, Nihei KI. Antimicrobial activity of anethole and related compounds from aniseed. *J Sci Food Agri* 2008; 88:242-7. doi: 10.1002/jsfa.3079.
- Clinical and Laboratory Standards Institute (CLSI), Reference Method for Disk Diffusion Antifungal Susceptibility Testing of Yeasts, Approved Guideline second Edition. CLSI document M44-A2, Clinical and Laboratory Standards Institute, Wayne PA, 2009.
- Clinical and Laboratory Standards Institute (CLSI), Reference Method for Broth Dilution Antifungal Susceptibility Testing of Yeasts, Approved Guideline second Edition. CLSI document M27-A3, Clinical and Laboratory Standards Institute, Wayne PA, 2008.
- Pierce CG, Uppuluri P, Tristan AR, Wormley FL, Mowat E, Ramage G, et al. A simple and reproducible 96-well plate-based method for the formation of fungal biofilms and its application to antifungal susceptibility testing. *Nat Protoc* 2008; 3:1494-500. doi: 10.1038/nprot.2008.141.
- Álvarez M, Rodríguez A, Bermúdez E, Roncero E, Andrade MJ. Development of a methodology for estimating the ergosterol in meat product-borne toxicigenic moulds to evaluate antifungal agents. *Foods* 2021; 10:438. doi: 10.3390/foods10020438.
- Anil S, Ellepola ANB, Samaranayake LP. The impact of chlorhexidine gluconate on the relative cell surface hydrophobicity of oral *Candida albicans*. *Oral Dis* 2001; 7:119-22.
- Kucharíková S, Neirinck B, Sharma N, Vleugels J, Lagrou K, Van Dijck P. In vivo *Candida glabrata* biofilm development on foreign bodies in a rat subcutaneous model. *J Antimicrob Chemother* 2015; 70:846-56. doi: 10.1093/jac/dku447.
- Hitkova HY, Georgieva DS, Hristova PM, Marinova-Bulgaranova TV, Kirilov Borisov B, Georgiev Popov V. Antifungal susceptibility of non-albicans *Candida* species in a tertiary care hospital, Bulgaria. *Jundishapur J Microbiol* 2020;13: e101767. doi: 10.5812/jjm.101767.
- Razzaghi-Abyaneh M, Sadeghi G, Zeinali E, Alirezaee M, Shams-Ghahfarokhi M, Amani A, et al. Species distribution and antifungal susceptibility of *Candida* spp. isolated from superficial candidiasis in outpatients in Iran. *J Mycol Med* 2014;24: e43-e50. doi: 10.1016/j.mycmed.2014.01.004.

22. Jain N, Kohli R, Cook E, Gialanella P, Chang T, Fries B. Biofilm formation by and antifungal susceptibility of *Candida* isolates from urine. *Appl Environ Microbiol* 2007; 73:1697-703. doi: 10.1128/AEM.02439-06.
23. d'Enfert C, Janbon G. Biofilm formation in *Candida glabrata*: What have we learnt from functional genomics approaches? *FEMS yeast Res* 2016; 16:111. doi: 10.1093/femsyr/fov111.
24. Fujita KI, Fujita T, Kubo I. Anethole, a potential antimicrobial synergist, converts a fungistatic dodecanol to a fungicidal agent. *Phytother Res* 2007; 21:47-51. doi: 10.1002/ptr.2016.
25. Mohammadzadeh F, Yahyaraeyat R, Sharifzadeh A. Evaluation of the effect of anethole against dual biofilms of *Candida albicans* and *Staphylococcus aureus* in vitro. *Mycoses* 2020.
26. Vieira Priscila RN, de Moraes, Selene M, Bezerra, Francisco HQ, Augusto TFP; Írvila R, et al. Chemical composition and antifungal activity of essential oils from *Ocimum* species. *Industr Crops Prod* 2014; 55:267-71. doi: 10.1016/j.indcrop.2014.02.032.
27. Dąbrowska M, Zielińska-Bliźniewska H, Kwiatkowski P, Łopusiewicz Ł, Pruss A, Kostek M, et al. Inhibitory effect of eugenol and trans-anethole alone and in combination with antifungal medicines on *Candida albicans* clinical isolates. *Chem Biodivers* 2021;18: e2000843. doi: 10.1002/cbdv.202000843.
28. Borghi E, Sciota R, Biassoni C, Cirasola D, Cappelletti L, Vizzini L, et al. Cell surface hydrophobicity: a predictor of biofilm production in *Candida* isolates? *J Med Microbiol* 2011; 60:689-90. doi: 10.1099/jmm.0.026898-0.
29. Silva-Dias A, Miranda IM, Branco J, Monteiro-Soares M, Pina-Vaz C, Rodrigues AG. Adhesion, biofilm formation, cell surface hydrophobicity, and antifungal planktonic susceptibility: relationship among *Candida* spp. *Front Microbiol* 2015;12:205. doi: 10.3389/fmicb.2015.00205.
30. de Paula SB, Bartelli TF, Di Raimo V, Santos JP, Morey AT, Bosini MA, et al. Effect of eugenol on cell surface hydrophobicity, adhesion, and biofilm of *Candida tropicalis* and *Candida dubliniensis* isolated from oral cavity of HIV-infected patients. *Evid Based Complement Alternat Med* 2014; 2014:505204. doi: 10.1155/2014/505204.
31. Khan MS, Ahmad I, Cameotra SS, Botha F. Sub-MICs of *Carum copticum* and *Thymus vulgaris* influence virulence factors and biofilm formation in *Candida* spp. *BMC Complement Alternat Med* 2014;14:1-14. doi: 10.1186/1472-6882-14-337.
32. Raut JS, Shinde RB, Chauhan NM, Karuppayil SM. Terpenoids of plant origin inhibit morphogenesis, adhesion, and biofilm formation by *Candida albicans*. *Biofouling* 2013; 29:87-96. doi: 10.1080/08927014.2012.749398.
33. Samber N, Khan A, Varma A, Manzoor N. Synergistic anti-*candidal* activity and mode of action of *Mentha piperita* essential oil and its major components. *Pharma Biol* 2015; 53:1496-504. doi: 10.3109/13880209.2014.989623.
34. Alizadeh F, Khodavandi A, Esfandyari S, Nouripour-Sisakht S. Analysis of ergosterol and gene expression profiles of sterolΔ 5, 6-desaturase (ERG3) and lanosterol 14α-demethylase (ERG11) in *Candida albicans* treated with carvacrol. *J Herbmed Pharmacol* 2018; 7:79-87. doi: 10.15171/jhp.2018.14.
35. Lone SA, Khan S, Ahmad A. Inhibition of ergosterol synthesis in *Candida albicans* by novel eugenol tosylate congeners targeting sterol 14α-demethylase (CYP51) enzyme. *Arch Microbiol* 2020; 202:711-26. doi: 10.1007/s00203-019-01781-2.